

令和元年5月20日現在

機関番号：10101

研究種目：基盤研究(B) (一般)

研究期間：2016～2018

課題番号：16H04152

研究課題名(和文) 特殊構造ブロック共重合体による微細構造化技術の開発

研究課題名(英文) Development of microstructural technology using architecturally complex block copolymer

研究代表者

佐藤 敏文 (Sato, Toshifumi)

北海道大学・工学研究院・教授

研究者番号：80291235

交付決定額(研究期間全体)：(直接経費) 14,100,000円

研究成果の概要(和文)：本研究は、次世代リソグラフィーへの応用に向けたブロック共重合体(BCP)の新規設計指針の確立を目指すものである。

各種の精密リビング重合やクリック反応を駆使することで、分岐状あるいは環状構造を有する両親媒性BCPならびに立体規則性を制御した両親媒性BCPを合成した。マイクロ相分離構造の解析結果より、ブロック共重合体への非直鎖状構造の導入は重合度に依存せずにマイクロ相分離構造の周期間隔を微細化する有用な手段となることを明らかにした。また、ブロック共重合体の立体規則性の制御はより高度に配列したモルフォロジーを構築する方法論となり得ることも見出した。

研究成果の学術的意義や社会的意義

BCPのマイクロ相分離を微細化する試みは既に多くの研究者によって検討されているが、それらは何れも強偏斥なBCPの利用と単純な分子量の低下により達成されている。一方、本研究は、これまで詳細な検討がなされていない特殊構造高分子に焦点を当て、高分子構造とマイクロ相分離構造の相関関係を理解し、その成果に基づいて微細加工への応用に向けた新規BCP設計指針を提案するものである。本研究の成果は、現在大きな注目を集めている超微細加工分野の研究領域の拡大に繋がるばかりでなく、特殊構造という新たな視点での高分子材料設計への展開に寄与するものである。

研究成果の概要(英文)：This study is aiming at establishing new molecular design concept of block copolymer (BCP) materials for next generation lithography.

Branched and cyclic amphiphilic BCPs as well as tacticity-controlled amphiphilic BCPs were synthesized by using precision polymerization techniques and click reactions. A systematic investigation into those BCPs revealed that the incorporation of branched and cyclic architectures into the BCPs can be an effective mean to reduce the domain-spacing of the microphase-separated structures. Further, the control over the main chain tacticity can be a novel approach to achieve high-quality morphology.

研究分野：高分子化学

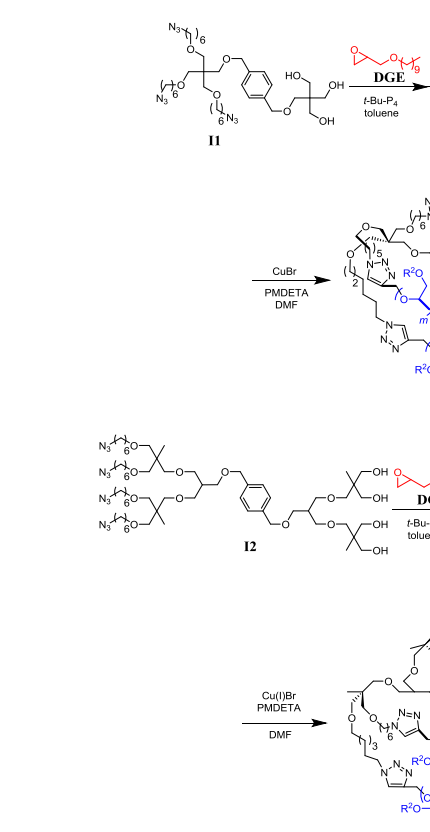
キーワード：マイクロ相分離 自己組織化 ブロック共重合体 特殊構造高分子 星型高分子 環状高分子 立体規則性

χ > 10.5 (Flory-Huggins) $\chi N > 10.5$ $\chi N > 10.5$ $\chi N > 10.5$
 χ > 10.5 (Flory-Huggins) $\chi N > 10.5$
 χ > 10.5 (Flory-Huggins) $\chi N > 10.5$
 χ > 10.5 (Flory-Huggins) $\chi N > 10.5$
 χ > 10.5 (Flory-Huggins) $\chi N > 10.5$
 χ > 10.5 (Flory-Huggins) $\chi N > 10.5$

χ > 10.5 (Flory-Huggins) $\chi N > 10.5$
 χ > 10.5 (Flory-Huggins) $\chi N > 10.5$
 χ > 10.5 (Flory-Huggins) $\chi N > 10.5$
 χ > 10.5 (Flory-Huggins) $\chi N > 10.5$
 χ > 10.5 (Flory-Huggins) $\chi N > 10.5$

χ > 10.5 (Flory-Huggins) $\chi N > 10.5$
 χ > 10.5 (Flory-Huggins) $\chi N > 10.5$
 χ > 10.5 (Flory-Huggins) $\chi N > 10.5$
 χ > 10.5 (Flory-Huggins) $\chi N > 10.5$
 χ > 10.5 (Flory-Huggins) $\chi N > 10.5$

χ > 10.5 (Flory-Huggins) $\chi N > 10.5$
 χ > 10.5 (Flory-Huggins) $\chi N > 10.5$
 χ > 10.5 (Flory-Huggins) $\chi N > 10.5$
 χ > 10.5 (Flory-Huggins) $\chi N > 10.5$
 χ > 10.5 (Flory-Huggins) $\chi N > 10.5$



Scheme 1. **G[1]P4N-2X-9gP8S4wMg0vy** **P8b0KS**

3 Xb⁵ 3 Xb¹⁰ 56¹¹ 4 Xb⁵ 4 X

b¹⁰M5⁶ 12 † 0¹⁰ F8Z 11² t-Bu-P₄ 0yK

6¹⁰b¹⁰[DGE \ TEGGE] 3 6P>g 4 6P_±

0... X)z[~] (SAXS) b) poly(DGE) \ poly(TEGGE) 7¹⁰le~

(E) jB wM• 6P_± a) b) x[PMG 86P_± b) c]

s0... X)z[~] (GISAXS) † 0¹⁰ 0KZ• 3 Xb¹⁰ 7¹⁰lev GISAXS

b) x[PMG \ 1/2 66¹⁰x (13 nm) WS

(2) g/0dN¹⁰DKSg0vy¹⁰b¹⁰ 6¹⁰3

t-Bu-P₄ 6¹⁰ac3b¹⁰86P_±DE[Cg/0dN¹⁰

DKS b¹⁰vy¹⁰g/0dN¹⁰g0vy¹⁰b¹⁰N

G[¹⁰c t-Bu-P₄ 0y¹⁰S¹⁰b¹⁰e¹⁰ Q

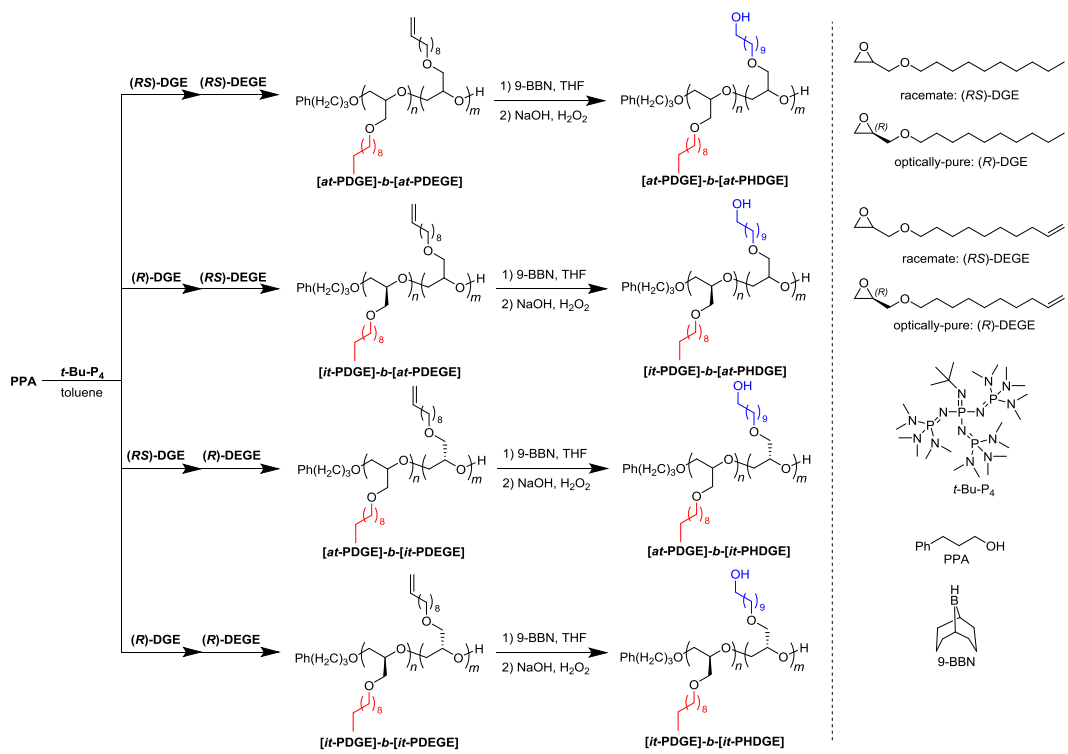
S (Scheme 2) DGE ((R)-DGE) \ DEGE ((R)-DEGE)

b) x[PMG \ ([it-PDGE]-b-[it-PHDGE]) 6KsRS]b¹⁰6¹⁰

6¹⁰g/0dN¹⁰b¹⁰s¹⁰ 3 8¹⁰ E

6¹⁰ce ([at-PDGE]-b-[at-PHDGE] [it-PDGE]-b-[at-PHDGE] [at-PDGE]-b-[it-PHDGE])

v¹⁰KS 7¹⁰ley



Scheme 2. g/0dN¹⁰ Dš g0vy¹⁰b¹⁰

GG[5M4b¹⁰86¹⁰2n¹⁰0

8¹⁰M@ it-PDGE c at-PDGE 5¹⁰

/0dN@ PDGE b) Cs8jMG¹⁰bKSM% it-PHDGE \ at-PHDGE

X¹⁰Q† T_m A¹⁰S¹⁰V¹⁰S)F8¹⁰/0dN¹⁰

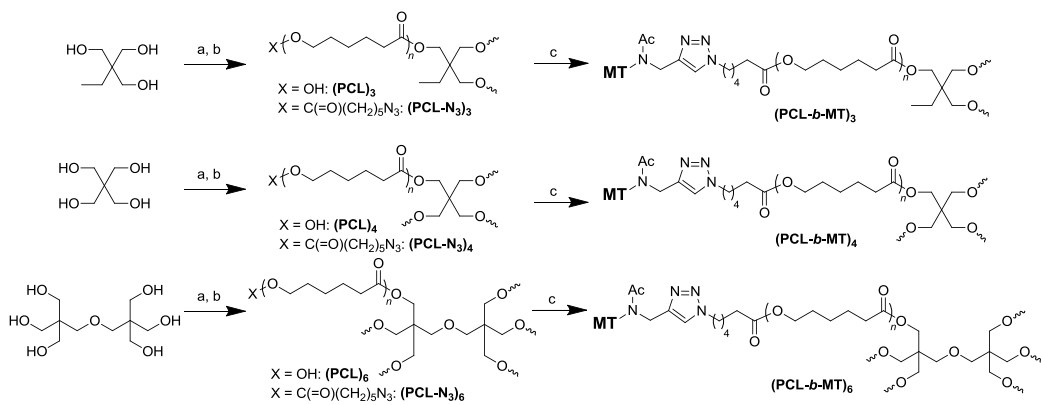
[PDGE]-b-[PHDGE] X8Z DSC KSG• BCP c PDGE \ PHDGE 6

T_m BKSbGc BCP pb PDGE \ PHDGE BSK
 GISAXS $\lambda = 0.124$ nm
 $d \approx 18$ nm $d \approx 6.6$ nm $d \approx 6.6$ nm $d \approx 6.6$ nm
 /0dN67xx84cA8j8vbbi
 NMG[6Pb44 ϵ -CL 8KS b/Od

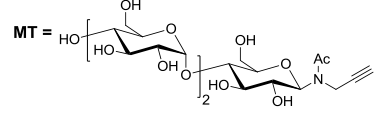
(3) 8 ϵ -PCL ω M• (PCL)₃ (Sato, T. et al. *ACS Macro Lett.* 2012, 1, 1379-1382 ↑ $\lambda = 18$ nm)
 90% ((PCL)₃) @ $\lambda = 18$ nm

vPCL 10 nm $\lambda = 18$ nm $\lambda = 18$ nm
 (S4KS (PCL)₃)
 (S4KS (PCL)₃)
 7.1 eV K (Scheme 3) (S4) $\lambda = 18$ nm

ϵ -PCL 5 3 4 6 PCL $\lambda = 18$ nm
 (PCL-b-MT) v
 10KS



a) ϵ -Caprolactone, DPP, bulk at 80°C; b) $N_3(CH_2)_5COOH$, EDC, DMAP in CH_2Cl_2 ; c) MT-C \equiv CH, CuBr, PMDETA in DMF at 60°C



Scheme 3. $\lambda = 18$ nm

SAXS $\lambda = 18$ nm (AFM) $\lambda = 18$ nm
 v 10 nm $\lambda = 18$ nm
 (Figure 1) $\lambda = 18$ nm
 5 $\lambda = 18$ nm
 b $\lambda = 18$ nm
 b $\lambda = 18$ nm
 4 $\lambda = 18$ nm
 @

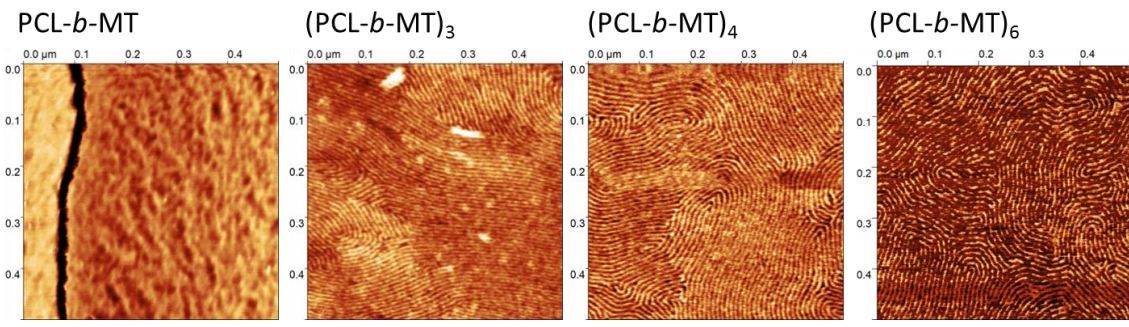


Figure 1. (PCL-b-MT) AFM $\lambda = 18$ nm

ACS Applied Materials and Interfaces

ACS Applied Materials and Interfaces

ACS Applied Materials and Interfaces

7516

ACS Applied Materials and Interfaces

ACS Applied Materials and Interfaces

ACS Applied Materials and Interfaces

ACS Applied Materials and Interfaces

ACS Applied Materials and Interfaces

ACS Applied Materials and Interfaces

ACS Applied Materials and Interfaces

- q [Isono, T.](#); Kawakami, N.; Watanabe, K.; Yoshida, K.; Otsuka, I.; Mamiya, H.; Ito, H.; [Yamamoto, T.](#); Tajima, K.; Borsali, R.; [Satoh, T.](#) “Microphase Separation of Carbohydrate-Based Star-Block Copolymers with Sub-10 nm Periodicity” *Polym. Chem.*, 1w , **2019**, *10*, 1119-1129. (DOI: 10.1039/C8PY01745J)
- r Watanabe, K.; Katsuhara, S.; Mamiya, H.; [Yamamoto, T.](#); Tajima, K.; [Isono, T.](#); [Satoh, T.](#) “Downsizing of Feature in Microphase-Separated Structures via Intramolecular Crosslinking of Block Copolymers” *Chem. Sci.*, 1w , **2019**, *10*, 3330-3339. (DOI: 10.1039/C8SC05016C)
- s Yoshida, K.; Tanaka, S.; [Yamamoto, T.](#); Tajima, K.; Borsali, R.; [Isono, T.](#); [Satoh, T.](#) “Chain-End Functionalization with a Saccharide for 10 nm Microphase Separation: “Classical” PS-*b*-PMMA versus PS-*b*-PMMA-Saccharide” *Macromolecules*, 1w , **2018**, *51*, 8870-8877. (DOI: 10.1021/acs.macromol.8b02069)
- t Yoshida, K.; Tian, L.; Miyagi, K.; Yamazaki, A.; Mamiya, H.; [Yamamoto, T.](#); Tajima, K.; [Isono, T.](#); [Satoh, T.](#) “Facile and Efficient Modification of Polystyrene-*block*-poly(methyl methacrylate) for Achieving Sub-10 nm Feature Size” *Macromolecules*, 1w , **2018**, *51*, 8064-8072. (DOI: 10.1021/acs.macromol.8b01454)
- u Hung, C.-C.; Nakahira, S.; Chiu, Y.-C.; [Isono, T.](#); Wu, H.-C.; Watanabe, K.; Chiang, C. C.; Takashima, S.; Borsali, R.; [Satoh, T.](#); Chen, W. C. “Control over Molecular Architectures of Carbohydrate-Based Block Copolymers for Stretchable Electrical Memory Devices” *Macromolecules*, 1w , **2018**, *51*, 4966-4975. (DOI: 10.1021/acs.macromol.8b00874)
- v Shingu, T.; [Yamamoto, T.](#); Tajima, K.; [Isono, T.](#); [Satoh, T.](#) “Synthesis of μ -ABC Tricyclic Miktoarm Star Polymer via Intramolecular Click Cyclization” *Polymers*, 1w , **2018**, *10*, 877. (DOI: 10.3390/polym10080877)
- w Hsieh, H.-C.; Hung, C.-C.; Watanabe, K.; Chen, J.-Y.; Chiu, Y.-C.; [Isono, T.](#); Chiang, Y.-C.; Reghu, R. R.; [Satoh, T.](#); Chen, W.-C. “Unraveling the stress effects on the optical properties of stretchable rod-coil polyfluorene-poly(*n*-butyl acrylate) block copolymer thin films” *Polym. Chem.*, 1w , **2018**, *9*, 3820-3831. (DOI: 10.1039/C8PY00763B)
- x [Isono, T.](#); Sasamori, T.; Honda, K.; Mato, Y.; [Yamamoto, T.](#); Tajima, K.; [Satoh, T.](#) “Multicyclic Polymer Synthesis through Controlled/Living Cyclopolymerization of α,ω -Dinorbornenyl-Functionalized Macromonomers” *Macromolecules*, 1w , **2018**, *51*, 3855-3864. (DOI: 10.1021/acs.macromol.8b00355)
- y [Isono, T.](#); Lee, H.; Miyachi, K.; [Satoh, Y.](#); Kakuchi, T.; Ree, M.; Satoh, T. “Synthesis, Thermal Properties, and Morphologies of Amphiphilic Brush Block Copolymers with Tacticity-Controlled Polyether Main Chain” *Macromolecules*, 1w , **2018**, *51*, 2939-2950. (DOI: 10.1021/acs.macromol.8b00243)
- z Kim, B.; Chae, C.-G.; Satoh, Y.; [Isono, T.](#); Ahn, M.-K.; Min, C.-M.; Hong, J.-H.; Ramirez, C. F.; [Satoh, T.](#); Lee, J.-S. “Synthesis of Hard–Soft–Hard Triblock Copolymers, Poly(2-naphthyl glycidyl ether)-*block*-poly[2-(2-(2-methoxyethoxy)ethoxy)ethyl glycidyl ether]-*block*-poly(2-naphthyl glycidyl ether), for Solid Electrolytes” *Macromolecules*, 1w , **2018**, *51*, 2293-2301. (DOI: 10.1021/acs.macromol.7b02553)
- { [Isono, T.](#); Ree, B. J.; Tajima, K.; Borsali, R.; [Satoh, T.](#) “Highly Ordered Cylinder Morphologies with 10 nm Scale Periodicity in Biomass-Based Block Copolymers” *Macromolecules*, 1w , **2018**, *51*, 428-437. (DOI: 10.1021/acs.macromol.7b02279)
- | Ree, B. J.; Satoh, Y.; Jin, K. S.; [Isono, T.](#); Kim, W. J.; Kakuchi, T.; [Satoh, T.](#); Ree, M. “Well-Defined Stable Nanomicelles Self-Assembled by Brush Cyclic Tadpole Copolymer Amphiphiles: A Versatile Smart Carrier Platform” *NPG Asia Materials*, 1w , **2017**, *9*, e453. (DOI: 10.1038/am.2017.205)
- } Wang, J.-T.; Takashima, S.; Wu, H.-C.; Shih, C.-C.; [Isono, T.](#); Kakuchi, T.; [Satoh, T.](#); Chen, W.-C. “Stretchable Conjugated Rod-Coil Poly(3-hexylthiophene)-*block*-poly(butyl acrylate) Thin Film for Field Effect Transistor Applications”, *Macromolecules*, 1w , **2017**, *50*, 1442-1452. (DOI: 10.1021/acs.macromol.6b02722)
- ~ Satoh, Y.; Matsuno, H.; [Yamamoto, T.](#); Tajima, K.; [Isono, T.](#); [Satoh, T.](#) “Synthesis of Well-Defined

Three- and Four-Armed Cage-Shaped Polymers via “Topological Conversion” from Trefoil- and Quatrefoil-Shaped Polymers” *Macromolecules*, 1 w , **2017**, 50, 97-106. (DOI: 10.1021/acs.macromol.6b02316)

- Wang, J.-T.; Saito, K.; Wu, H.-C.; Sun, H.-S.; Hung, C.-C.; Chen, Y.; Isono, T.; Kakuchi, T.; Satoh, T.; Chen, W.-C. “High Performance Stretchable Resistive Memories Using Donor-Acceptor Block Copolymers with Fluorene Rods and Pendent Isoindigo Coils”, *NPG Asia Materials*, 1w , **2016**, e298. (DOI: 10.1038/am.2016.112)

46 ó'

- q Satoh, T., Phase-separated structure of oligosaccharide-based block copolymer, 7th Synchrotron Radiation in Polymer Science (2018)
- r Yoshida, K.; Tanaka, S.; Miyagi, K.; Isono, T.; Yamamoto, T.; Tajima, K.; Borsali, R.; Satoh, T., Post-Polymerization Modification of Polystyrene-*block*-Poly(methyl methacrylate) for Fabricating Sub-10 nm Feature Size, 4th International Symposium on DSA (2018)
- s Satoh, T., Synthesis and morphological study of star-block copolymers consisting of polycaprolactone and oligosaccharide, Japan-Taiwan Bilateral Polymer symposium (2017)

Ú 43 ó

1 ó'

q [http://poly-ac.eng.hokudai.ac.jp/](#) 2018 pp. 77-88

0 ó'

o 0 ó'

o 0 ó'

QbÚ

Ô ¼

<http://poly-ac.eng.hokudai.ac.jp/>

>4>, 0)Ê

(1)Ê*..

Ê8 £ 0

Ê8 (YAMAMOTO, Takuya)

dÊ8 4(Ê

4Ê8 ÊTdT

Ê8 M5

Ê& 8 F>8 30525986

Ê8&5 Å

Ê8 (ISONO, Takuya)

dÊ8 4(Ê

4Ê8 ÊTdT

Ê8M

Ê& 8 F>8 70740075